

مطالعه اقلیم‌شناختی محتوای الکترون کلی (TEC) یون‌سپهری با استفاده از دادهای GNSS شبکه‌بندی شده ایستگاه‌های

محمد جغتایی^{۱*}، نیلوفر جوینده^۲ و محمدحسین عماریان^۱

۱. استادیار، گروه فیزیک فضای دانشکده فیزیک، دانشگاه بیزد، بیزد، ایران

۲. دانشجوی کارشناسی ارشد، گروه فیزیک فضای دانشکده فیزیک، دانشگاه بیزد، بیزد، ایران

(دریافت: ۹۸/۶/۴؛ پذیرش نهایی: ۹۸/۱۱/۱)

چکیده

لایه یون‌سپهر از لایه‌های مهم جو زمین است که در اثر جذب تابش مأواه‌بنفس و ایکس خورشیدی و برخورد ذرات باردار با اتم‌ها و مولکول‌های جو زمین و برهمنکش فوتوژیمیابی بین ترکیبات آن تشکیل می‌شود. الکترون‌های آزاد در این لایه بر مسیر امواج رادیویی تأثیر می‌گذارد و هرگونه اختلال احتمالی در این لایه، تأثیر جدی در ارتباطات ماهواره‌ای، ارتباطات دقیق ناوبری و ارتباطات دوربرد می‌گذارد. پس شناخت مقادیر میانگین و توزیع نصف النهاری مقادیر الکترون‌های آزاد کمک شایانی به شناخت پریشیدگی و اختلال‌های احتمالی آن می‌کند. یک روش پذیرفته شده در تحقیق ساختار زمانی و فضایی و تغییرپذیری الکترون‌های آزاد یون‌سپهر، برآورد محتوای کلی الکترون (TEC) است. TEC مجموع الکترون‌های موجود در استوانه‌ای با سطح مقطع یک متر مربع است که در مسیر ماهواره تا گیرنده زمینی محاسبه می‌شود.

در این پژوهش برای بررسی پریشیدگی‌های یون‌سپهری از داده‌های جهانی و شبکه‌بندی شده ایستگاهی GNSS، برای بازه زمانی ۱۹۹۹ تا ۲۰۱۷ استفاده شده است. از داده‌ها میانگین سالانه و ماهانه برای ۱۹ سال گرفته شده است. همچنین برای فعالیت خورشیدی از شاخص F10.7 استفاده شده است که تابش خورشید در طول موج ۱۰/۷ cm است. در پژوهش انجام شده، روند تغییرات TEC وابستگی زیادی به تغییرات چرخه خورشیدی دارد. با بررسی مقادیر TEC مشاهده شد که مقدار TEC در ماه‌های آوریل و مارس واکتیر پیشینه است در حالی که در ماه‌های جولای و جون کمینه مقادیر را دارد. بهیان دیگر مقادیر TEC در اعتدالین بیشتر و در انقلاب تابستانی کمترین مقدار را داراست.

واژه‌های کلیدی: یون‌سپهر، TEC، GNSS، چرخه خورشیدی، F10.7.

۱. مقدمه

الکتریکی و مغناطیسی می‌توانند جابه‌جاگی‌های متفاوتی را تجربه کنند. یون‌سپهر را می‌توان همچون لایه‌ای رسانا درنظر گرفت که بارکلی آن صفر است و مشابه پلاسمای سرد رفتار می‌کند. البته باید توجه داشت که در پیشینه غلظت الکترون‌های لایه یون‌سپهر (یعنی لایه F2) بازهم غلظت ترکیبات جوی حدود دو مرتبه بزرگی بیشتر از غلظت الکترون‌هاست.

ساختار لایه‌های یون‌سپهر به صورت افقی است و گسترش افقی دارند. چگالی مولکول‌ها و اتم‌های خنثی با افزایش ارتفاع کاهش می‌یابد در حالی که شدت تابش خورشیدی با آن افزایش می‌یابد. بنابراین در یک ارتفاع معین که همان لایه F2 است، فرآیند یونیزاسیون افزایش و چگالی

یون‌سپهر یکی از مهم‌ترین لایه‌های جو است که از ارتفاع حدود ۶۰ کیلومتری آغاز و تا حدود ۱۰۰۰ کیلومتری ادامه دارد. این لایه کمتر از ۱ درصد از جرم کل جو را به خود اختصاص می‌دهد. با این وجود به علت تأثیری که روی تابش ورودی خورشید و عبور امواج رادیویی دارد، بسیار با اهمیت است. این لایه در ارتفاعات بالاتر از حدود ۶۰ کیلومتر در اثر تابش به صورت اشعه ایکس خورشیدی، فرابنفش و برخورد ذرات ایجاد می‌شود (آتاک و همکاران، ۲۰۰۹). در اثر برهمنکش این تابش‌ها با جو زمین، الکترون‌ها از مولکول‌ها یا اتم‌های موجود در آن ارتفاعات جدا و ترکیبات یونیزه می‌شوند. الکترون‌ها و یون‌های حاصل از یونیزاسیون تحت تأثیر میدان‌های

GNSS که مخفف Global Navigation Satellite System است، به معنی سامانه تعیین موقعیت و ناوبری ماهواره‌ای می‌باشد. سامانه تعیین موقعیت ماهواره‌ای با استفاده از امواج دریافتی از سمت ماهواره‌های موجود در مدار و به کمک گیرنده‌های زمینی، امکان تعیین محل قرار گرفتن یک نقطه در فضای سه بعدی را فراهم می‌آورد. GNSS از سامانه‌های ماهواره‌ای مختلفی (GPS، GLONASS و ...) تشکیل شده‌است. این سامانه‌ها می‌توانند منطقه‌ای و یا جهانی باشند.

در سال‌های اخیر سیگنانل‌های دوفرکانسی سامانه موقعیت‌یابی جهانی (GPS) به طور گستردگی برای برآورد مقادیر TEC منطقه‌ای و جهانی استفاده می‌شوند (لیاؤن، ۲۰۰۰؛ کارسیا، ۲۰۰۷). مزیت سیگنانل‌های GPS به خاطر تعداد زیاد ماهواره‌های GPS در ارتفاع ۲۰۰۰۰ کیلومتری، پوشش جهانی آنها و در دسترس بودن دریافت کننده‌های تجاری است. TEC می‌تواند از تأخیر زمانی حرکت سیگنانل‌های GPS ثبت شده در دریافت کننده‌های زمینی استخراج شود (نیر و همکاران، ۲۰۰۷). برای ارائه فایل‌های مشاهداتی ایستگاه‌های زمینی، پارامترهای ناوبری ماهواره‌های GNSS و نیز پارامترهای جوی از فرمت RINEX استفاده می‌شود. فرمت مستقل مبادله گیرنده (RINEX) یک فرمت تبادل اطلاعات برای داده‌های سامانه ناوبری خام است. هر فایل RINEX از دو قسمت عنوان و محتوا تشکیل شده‌است. RINEX این اجازه را به کاربر می‌دهد تا داده‌های دریافت شده را برای تولید نتیجه دقیق‌تر، پردازش کند. اولین فرمت RINEX توسط گرترن و مادر در سپتامبر و اکتبر ۱۹۹۰ منتشر شد (گوتترن و استی، ۲۰۰۷). خروجی نهایی یک گیرنده ناوبری معمولاً موقعیت، سرعت و یا سایر مقادیر فیزیکی مرتبط با آن است. با این حال، محاسبه این مقادیر بر اساس یک سری از اندازه‌گیری‌ها از یک یا چند ماهواره است. با استفاده از برنامه‌ها، مدل‌ها و ... داده‌های RINEX را پردازش، تأخیرها را محاسبه و مقدار محتوای یون را بدست می‌آورند. فرمت داده‌های پردازش شده IONEX می‌باشد،

الکترون‌ها بیشینه می‌شود. در خارجی‌ترین ترازهای جو بالا، شدت تابش زیاد است اما اتم‌های کمتری برای برهمن کنش وجود دارند، در نتیجه نرخ یونیزاسیون کم است. با کاهش ارتفاع چگالی اتم‌ها و مولکول‌ها افزایش پیدا می‌کنند، اما شدت تابش کاهش می‌باید (بم جوهان و تروم، ۱۹۹۷).

الکترون‌های آزاد در این لایه بر مسیر امواج رادیویی تأثیر می‌گذارد، اگر این لایه دچار اختلال شود، تأثیر جدی در ارتباطات موج کوتاه، ارتباطات ماهواره‌ای، ارتباطات دقیق ناوبری و به عبارتی تأثیر بسیاری بر فعالیت‌های بشر در زمین گذاشته، و ارتباطات را مختلف می‌کند. بنابراین پیش‌بینی رفتار لایه یون‌سپهر در بررسی دینامیک جو بالا و همچنین ارتباطات رادیویی زمینی و زمین–فضا دارای اهمیت فراوانی است. محتوای کلی الکترون (TEC, Total Electron Content) در تعیین تأخیر فاز امواج رادیویی اهمیت بسیار زیادی دارد و در مرحله اول توسط فرآیند یونیزاسیون تعیین می‌شود (سیزه‌ای و همکاران، ۱۳۹۴). البته عکس آن هم وجود دارد یعنی از این تأخیر فاز و زمانی موج رادیویی می‌توان به محتوای TEC هم پی برد یعنی همان کاری که در ایستگاه‌های GPS انجام می‌شود. تغییرات تصادفی کوتاه‌مدت و تغییرات دوره‌ای بلندمدت (مانند نوسانات شبانه‌روزی) یون‌سپهر باعث ناپدیدشدن، شکست و پراکندگی سیگنانل‌های HF و سیگنانل‌های ارتباطی ماهواره می‌شود (نیر و همکاران، ۲۰۰۷). یک روش پذیرفته شده در تحقیق ساختار زمانی و فضایی و تغییرپذیری یون‌سپهر، برآورد محتوای کلی الکترون (TEC) است (اسچاگر، ۱۹۹۹). مجموع الکترون‌های موجود در استوانه‌ای با سطح مقطع یک متر مربع است که در مسیر ماهواره تا گیرنده محاسبه می‌شود یا می‌توان TEC را به عنوان انگرال خطی چگالی الکترون در راستای یک مسیر پرتو L یا به عنوان اندازه تعداد کلی الکترون‌ها در راستای مسیر موج رادیویی بیان کرد که واحد آن TECU می‌باشد. هر TECU برابر با 10^{16} الکترون در واحد مترمربع است.

کرد. این داده‌ها شامل محصولات اولیه با تأخیر ۲۴ ساعت و محصولات نهایی با تأخیر ۱۱ روز می‌باشد. مقادیر TEC در فرمت IONEX در شبکه‌ای منظم از نقاط ارائه می‌شود. نقاط در طول جغرافیایی در بازه -180° تا 180° با قدرت تفکیک 5° (73 نقطه) و در عرض جغرافیایی در بازه -87.5° تا 87.5° با قدرت تفکیک 2.5° (71 نقطه) ارائه می‌شود. از ساعت $00:00$ تا $24:00$ UT، هر دو ساعت یک نقشه IONEX حاوی مقادیر TEC ارائه می‌شود. هر فایل X شامل 13 نقشه است که آخرین نقشه هر روز و اولین نقشه روز بعد همزمان هستند. به طور کلی نقشه‌های TEC با قدرت تفکیک 5° در طول جغرافیایی و 2.5° در عرض جغرافیایی با دوره تناوب دو ساعت در زمان جهانی ارائه می‌شوند. در این پژوهش از داده‌های 19 ساله TEC (IONEX) در بازه زمانی 1999 تا 2017 (چرخه خورشیدی 23 و چرخه خورشیدی 24) استفاده شده است.

داده‌های IONEX را می‌توان از طریق لینک [/ftp://cddis.gsfc.nasa.gov/gnss/products/ionex](http://cddis.gsfc.nasa.gov/gnss/products/ionex) استخراج کرد. لازم به ذکر است که مقادیر TEC در این داده‌ها بر اساس $0/1$ TECU گزارش شده است و نتایج ما در این گزارش هم با همین واحد گزارش شده است.

برای این که کدهای مسافت‌یابی و جهت‌یابی از ماهواره به گیرنده برسند باشد در یک بسامد حامل تعییل شوند. این امواج حامل توسط ساعت‌های اتمی سزیم و ربیوم با فرکانس پایه $10/23$ مگاهرتز تولید می‌شوند. انواع موج MHz حامل در GPS شامل موج پایه L1 (با فرکانس 1575.42 MHz)، موج L2 (با فرکانس 1575.42 MHz) و امواج جدید L2C (با فرکانس 1575.42 MHz)، موج L5 (با فرکانس 1176 MHz) و موج L1C (با فرکانس 1176 MHz) است. امواج L1 و L2 معمولاً توسط امواج دیگری مدوله می‌شوند که شامل کدهای P و C/A می‌باشد. با استفاده از بیاس کد تفاضلی می‌توان اطلاعات مفید ژئودینامیکی از این داده‌ها استخراج کرد.

این فرمت نیز مانند فرمت RINEX از دو قسمت عنوان و محتوا تشکیل شده است. فرمت IONEX نقشه‌های 2 و 3 بعدی از TEC را پشتیبانی می‌کند، داده‌های IONEX به صورت شبکه بنده شده و جهانی هستند (اسچائر و همکاران، 1998).

مطالعات انجام شده روی اقلیم شناسی جو بالا با استفاده از داده‌های IONEX وجود چرخه سالانه، درون‌سالانه، فصلی و 27 -روزه را نشان می‌دهد (لیو و همکاران، 2009). البته اثر زاویه میل خورشید روی مقادیر TEC به دست آمده از این داده‌ها و فعالیت خورشید در طول موج رادیویی در عرض‌های پایین و فعالیت خورشید در طول موج EUV در عرض‌های بالاتر مشهود بود (لیو و همکاران، 2009). حتی اثرات دینامیکی کشنده‌ای جوی را نیز روی این داده‌ها اخیراً مطالعه کرده‌اند (مختاروف و همکاران، 2013).

در پژوهش حاضر ابتدا در بخش دو، به بررسی داده‌های جهانی TEC می‌پردازیم. سپس روش محاسبه و کار روی این داده‌ها در بخش سه معرفی می‌شود. نتایج توزیع نصف‌النهاری TEC به صورت به صورت سالانه و بعد میانگین ماهانه و فصلی ارائه می‌شود. در نهایت به بحث و نتیجه‌گیری خواهیم پرداخت.

۲. روش پژوهش

۲-۱. داده یون‌سپهری

سرвис جهانی IGS با استفاده از ایستگاه‌های GNSS محصولات متنوعی برای مطالعات ژئودینامیکی برای کاربران اعم از دانشمندان و کارکنان مراکز فضایی فراهم کرده است. این داده‌ها با استفاده از اطلاعات بیش از 350 ایستگاه GNSS فراهم شده است. این داده‌ها شامل اطلاعاتی از قبیل آب قابل‌بارش با استفاده از تأخیر زمانی مسیر سرسو (zenith path delay) و گرادیان‌های مداری و نصف‌النهاری آن برای وردسپهر فراهم می‌شود. از سال ۱۹۹۸ مرکز IGS اقدام به تولید محتوای الکترون یون‌سپهری با استفاده از داده‌های ایستگاه‌های دوفر کانسه

محاسبه این نوع میانگین مداری سعی در شناخت بیشتر اقلیم جو بالا را داریم. البته در این پژوهش بیشتر اثرات نوسان این تغیرات تحت تأثیر اثرات خورشیدی بررسی می‌شود.

در این پژوهش جهت بررسی توزیع نصف‌النهاری میانگین مداری TEC، داده‌های IONEX را برای بازه زمانی ۱۹۹۹ تا ۲۰۱۷، به عبارتی برای یک دوره ۱۹ ساله استخراج شد. سپس از داده‌ها برای هر روز میانگین مداری گرفته و در ادامه برای هر ماه و هر سال میانگین‌گیری صورت گرفت و در نهایت برای ۱۹ سال بهصورت ماهانه و سالانه میانگین مداری گرفته شده است. همچنین شاخص فعالیت خورشیدی از F10.7 استفاده شده است. این شاخص تابش خورشید در طول موج رادیویی ۱۰/۷ cm و فرکانس ۲۸۰۰ مگاهرتز است که همبستگی بالایی با تعداد لکه‌های خورشیدی دارد و چرخه‌های خورشیدی را آشکار می‌کند. این گسیل رادیویی از پلاسمای کرونا خورشیدی که بین خطوط میدان مغناطیسی گیرافتاده، روی مناطق فعل خورشیدی ایجاد می‌شود. بنابراین این گسیل رادیویی بیانگر پخش غیرتابشی گرمایش پلاسمای کرومسفیری است. پس نشانگر خوبی از فعالیت‌های کلی خورشیدی است. شار رادیویی F10.7 معمولاً بر اساس SFU گزارش می‌شود که همان solar flux units می‌باشد ($1 \text{ SFU} = 10^{-22} \text{ W m}^{-2} \text{ Hz}^{-1}$). در زمان فعالیت‌های پیشینه خورشیدی، همراه با افزایش شدت میدان مغناطیسی، بی‌هنجاری‌های پلاسمایی سطح و جو خورشید افزایش می‌یابد در نتیجه تابش خورشید در تمامی طول موج‌ها حتی رادیویی افزایش می‌یابد. افزایش تابش خورشیدی و بی‌هنجاری‌های تابش منجر به افزایش یونیزاسیون و بی‌هنجاری‌های یون‌سپهر می‌شود.

۴. نتایج

میانگین مداری پراسنچ‌های جوی کاربرد گسترده‌ای در مطالعه اقلیم‌شناختی دارد. جهت بررسی توزیع

می‌تواند بر حسب تفاضل کدهای $P_1 - P_2$ به صورت زیر استخراج شود (گائو و همکاران، ۲۰۱۵):

$$\begin{aligned} TEC &= -\frac{1}{40.3 F(z)} \frac{f_1^2 f_2^2}{f_1^2 - f_2^2} (P_4 - dc_b) \\ TEC &= \frac{1}{40.3 F(z)} \frac{f_1^2 f_2^2}{f_1^2 - f_2^2} (L_4 - \Delta Amb - DCB) \end{aligned} \quad (1)$$

که در آن $P_4 = P_1 - P_2$, $L_4 = \Phi_1 \lambda_1 - \Phi_2 \lambda_2$ است. Φ_1 و Φ_2 مربوط به فاز موج حامل اول و دوم و λ_1, λ_2 طول موج هر کدام از فرکانس‌های L_1 (با طول f_1, f_2 cm) و L_2 (با طول موج $24/4$ cm) می‌باشند. در ضمن dc_b تأخیر سخت‌افزاری DCB، تأخیر سخت‌افزاری ماهواره و $\Delta Amb = N_1 \lambda_1 - N_2 \lambda_2$ است.

نقشه‌های یون‌سپهری جهانی با دقت زمانی ۲ ساعت و تفکیک افقی $2/5^\circ \times 5^\circ$ توسط CODE, Center for Orbit Determination in Europe مقادیر TEC نقاط شبکه جهانی از بازسازی مقادیر قائم ایستگاه‌های IGS با تابع هماهنگ‌های کروی زیر ایجاد شده است:

$$TEC(\alpha, \beta) = \sum_{n=0}^{n_{\max}} \sum_{m=0}^n P_{nm}(\alpha) [a_{nm} \cos(m\beta) + b_{nm} \sin(m\beta)] \quad (2)$$

که در آن α و β به ترتیب عرض و طول جغرافیایی، n_{\max} بالاترین درجه، $P_{nm}(\alpha)$ تابع لاثاندر نرمال‌شده، a_{nm} و b_{nm} ضرایب هماهنگ‌های کروی است که n و m به ترتیب درجه و مرتبه هستند. البته در تبدیل TEC مایل به قائم از تابع نگاشت مدل تک‌لایه‌ای به صورت زیر استفاده شده است:

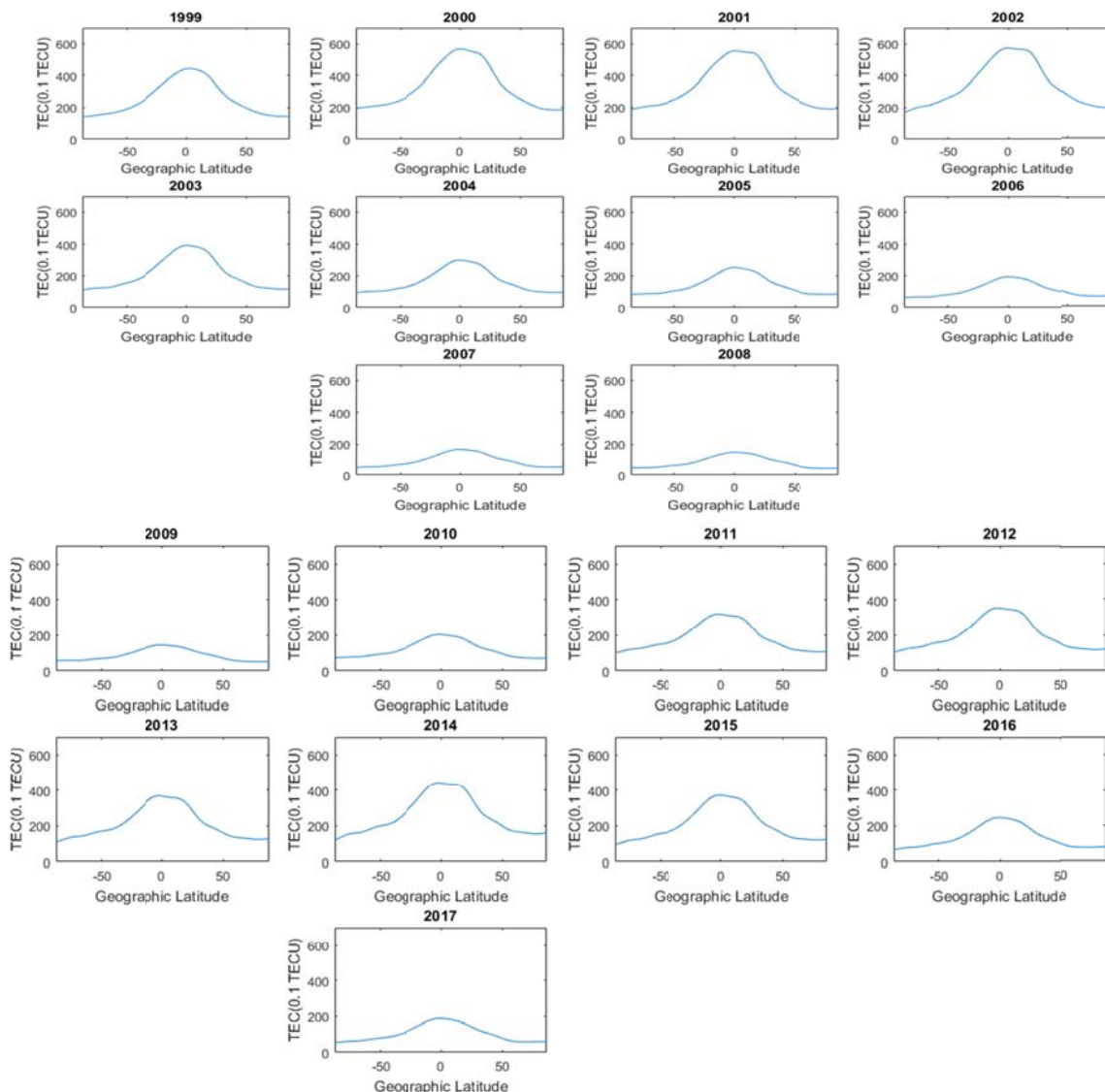
$$F(z) = \frac{1}{\cos(z)} \quad (3)$$

که در آن $z' = R \sin(z)/(R + H)$ است که $R = 6371 \text{ km}$ و $H = 450 \text{ km}$ است.

۳. اندازه‌گیری، مشاهده و محاسبه

میانگین مداری پراسنچ‌های جوی کاربرد گسترده‌ای در مطالعه اقلیم‌شناختی دارد. بنابراین ما در این پژوهش با

یک دوره ۱۹ ساله (۱۹۹۹ تا ۲۰۱۷) را نشان می‌دهد. با توجه به شکل مشاهده می‌شود که در چرخه خورشید ۲۳ که از آگوست ۱۹۹۶ شروع شده و تا دسامبر ۲۰۰۸ ادامه دارد، کمینه مقدار TEC در سال ۲۰۰۸ (۱۴ TECU) و بیشینه مقدار در سال‌های ۲۰۰۰ تا ۲۰۰۲ می‌باشد که حدوداً مقداری برابر با ۵۷ TECU دارد. در این چرخه، فاصله بین کمینه و بیشینه مقدار TEC تقریباً بین ۶ تا ۸ سال می‌باشد.



شکل ۱. مقادیر میانگین مداری TEC برای یک دوره ۱۹ ساله (۱۹۹۹ تا ۲۰۱۷) را نشان می‌دهد. تمام محورهای افقی، عرض جغرافیایی از -87.5° تا 87.5° و محورهای عمودی مقدار TEC بر حسب 0.1 TECU را نشان می‌دهد.

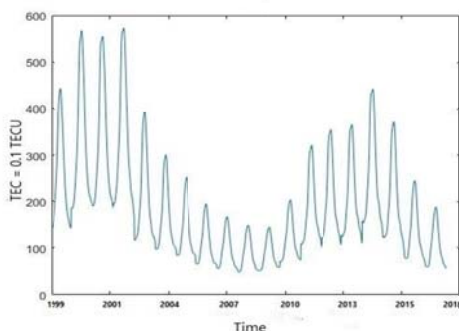
نصف‌النهاری میانگین مداری TEC، داده‌های IONEX برای بازه زمانی ۱۹۹۹ تا ۲۰۱۷، یعنی یک دوره ۱۹ ساله ارائه می‌شود. از داده‌ها برای هر روز میانگین مداری گرفته و در ادامه برای هر ماه و هر سال میانگین‌گیری صورت گرفت و در نهایت برای ۱۹ سال به صورت ماهانه و سالانه میانگین مداری ارائه شده است. شکل ۱ تمامی محورهای افقی، عرض جغرافیایی که از -87.5° تا 87.5° و محورهای عمودی مقدار TEC بر حسب 0.1 TECU را نشان می‌دهد.

۲۳، سال ۲۰۰۱ بیشینه مقدار TEC و سال ۲۰۰۸ کمینه مقدار را دارد، در چرخه خورشیدی ۲۴ به ترتیب سال ۲۰۱۴ و ۲۰۰۹ بیشینه و کمینه مقدار TEC را به خود اختصاص داده‌اند. همچنین مشاهده می‌شود که میزان TEC در چرخه خورشیدی ۲۳ نسبت به چرخه خورشیدی ۲۴ بیشتر می‌باشد و یک روند صعودی و نزولی را دنبال می‌کند. در ادامه ابتدا میانگین فصلی TEC و سپس برای روشن شدن جزئیات بیشتر میانگین هر ماه به صورت جداگانه ارائه می‌شود. در شکل ۳ میانگین فصلی TEC برای یک دوره ۱۹ ساله آورده شده‌است، در شکل‌های زیر محورهای افقی و محورهای عمودی همانند شکل ۱ می‌باشد. دیده می‌شود که بیشترین مقدار TEC در اعتدال بهاری (۰/۱ TECU) و کمترین آن در انقلاب تابستانی (۰/۱ TECU) است.

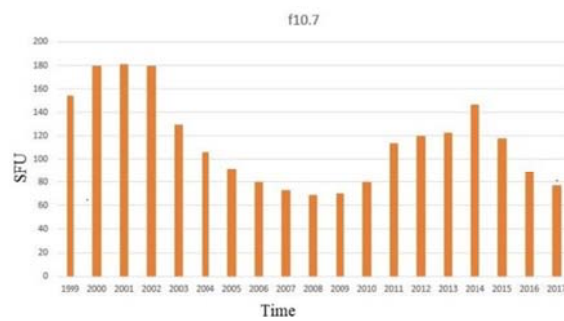
در چرخه خورشیدی فعلی که چرخه خورشیدی ۲۴ نام دارد، کمینه مقدار TEC در سال ۲۰۰۹ (۰/۱ TECU) و بیشینه مقدار در سال ۲۰۱۴ (۰/۴ TECU) می‌باشد، فاصله بین کمینه و بیشینه مقدار TEC تقریباً ۵ سال است. در تمامی سال‌ها در عرض پایین و میانه بیشینه مقدار TEC و در عرض بالا کمینه مقدار TEC مشاهده می‌شود که به دلیل زاویه تابش خورشید است. به نظر زاویه تابش و موقعیت زمین و خورشید و زاویه میل خورشید نقش غالب در اقلیم‌شناسی TEC دارد.

در شکل ۲ تغییرات سالانه TEC برای بازه زمانی ۱۹۹۹ تا ۲۰۱۷ رسم شده‌است. محور افقی سال و محور عمودی مقدار TEC بر حسب ۰/۱ TECU را نشان می‌دهد.

شکل ۲ تغییرات سالانه TEC در چرخه خورشیدی ۲۳ و ۲۴ را نشان می‌دهد. با توجه به شکل در چرخه خورشیدی



(ب)

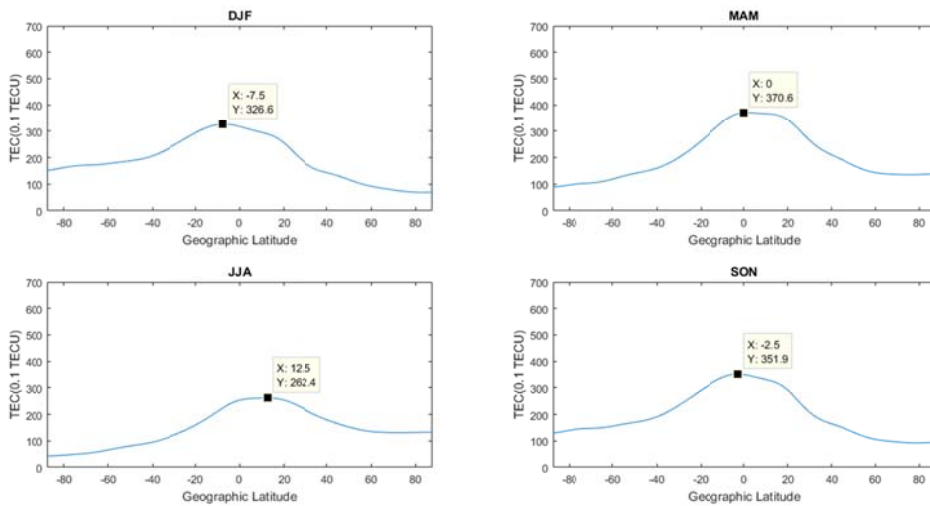


(الف)

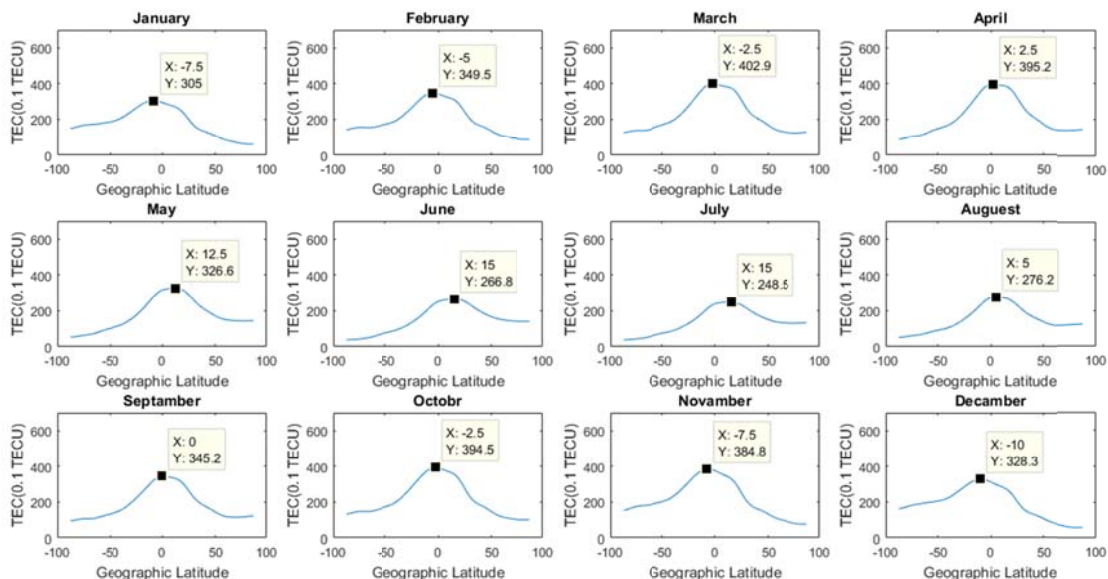
شکل ۲. تغییرات میانگین سالانه (الف) شار خورشیدی F10.7 بر حسب واحد شار خورشیدی و (ب) TEC بر حسب ۰/۱ TECU در بازه زمانی ۱۹۹۹ تا ۲۰۱۷.

جدول ۱. مقادیر بیشینه TEC در فصول زمستان، تابستان، اعتدال بهاری و اعتدال پاییزی (نیم‌کره شمالی).

تابستان	بهار	زمستان	پاییز	فصل (نیم‌کره شمالی)
۲۶۲/۴	۳۷۰/۶	۳۲۶/۶	۳۵۱/۹	بیشینه مقدار TEC (۰.۱TECU) (بر حسب ۰/۱ TECU)
۱۲/۵	۰/۰	-۷/۵	-۲/۵	عرض جغرافیایی بیشینه مقدار TEC (درجه)



شکل ۳. توزیع نصف‌النهاری از میانگین فصلی TEC از بالا سمت راست MAM (اعتدال بهاره)، DJF (اعتدال زمستانی)، SON (اعتدال پاییزی) و JJA (اعتدال تابستانه).



شکل ۴. میانگین مداری ماهانه TEC از سال ۱۹۹۹ تا ۲۰۱۷ م. مقادیر بیشینه روی هر نمودار مشخص شده است و نام مورد نظر بالای آن آمده است.

نیم‌کره جنوبی قرار دارد. تقریباً مقدار بیشینه نمودار پاسخ مناسبی به زاویه میل خورشید می‌دهد. در سه ماه ژوئن، جولای و آگوست که تابستان نیم‌کره شمالی می‌باشد، بیشینه مقدار TEC در نیم‌کره شمالی قرار دارد و کمینه در نیم‌کره جنوبی بیشتر است. البته فاصله زمین تا خورشید که در تابستان نیم‌کره شمالی بیشتر است اثر خود را روی مقادیر بیشینه نشان می‌دهد و بیشینه انقلاب تابستانی از

در شکل ۴ میانگین ماهانه TEC برای یک دوره ۱۹ ساله آورده شده است، در شکل‌های زیر محورهای افقی و محورهای عمودی همانند شکل ۱ می‌باشد.

همان‌طور که در شکل‌ها مشاهده می‌شود برای سه ماه دسامبر، فوریه و ژانویه که زمستان نیم‌کره شمالی می‌باشد، مقدار بیشینه TEC در نیم‌کره جنوبی است چون قطب جنوب خورشید را می‌بیند و البته مقدار بیشینه نمودار در

نیم کره جنوبی بیشتر است. البته فاصله زمین تا خورشید که در تابستان نیم کره شمالی بیشتر است اثر خود را روی مقادیر بیشینه نشان می دهد و بیشینه انقلاب تابستانی از بیشینه انقلاب زمستانی کمتر است.

با بررسی مقادیر TEC مشاهده شد که مقدار TEC در طول فصل بهار و پاییز بیشتر است و پس از آن فصل زمستان و تابستان قرار دارد. این نتایج با تحقیقاتی که برای عرض پایین (ایستگاه هند) انجام دادند، همخوانی دارد (پاتل و همکاران، ۲۰۱۷). در نتیجه با توجه به کمبود داده های جو بالا در منطقه جنوب غرب آسیا و همخوانی مقادیر اقلیم شناختی TEC حاصل از ایستگاه های GNSS با ایستگاه های سنجش زمینی و فضایی یونسپهر، ادامه پژوهش های اقلیم شناسی و مطالعه موردی با این داده ها پیشنهاد می شود. این پژوهش در یافتن مقادیر پریشیدگی سری زمانی TEC در مطالعات موردنی، می تواند استفاده شود. یافتن پریشیدگی های آماری مرتبه های بالاتر و همبستگی TEC با سایر پارامتر های خورشیدی برای ادامه کار پیشنهاد می شود.

مراجع

سبزه ای، ف.، شریفی، م.ع.، آخوندزاده، م. و فرزانه، س.، ۱۳۹۴، پیش‌بینی محتوای کلی الکترون قائم یونسپهری با شبکه عصبی برای یک موقعیت خاص و مقایسه با مدل مرجع یونسپهری بین‌المللی، م. فیزیک زمین و فضا، ۴۱(۳)، ۴۷۳-۴۸۵.

Ataç, T., Özgürç., A. and Pektaş, R., 2009, The variability of foF2 in different phases of solar cycle 23. Journal of Atmospheric and Solar-Terrestrial Physics, 71(5), 583-588.

Baumjohann, W. and Treumann, R. A. 1997, Basic space plasma physics, Imperial College Press, London.

García, R., 2007, Tracking solar gravity modes: the dynamics of the solar core, Science. 316 (5831), 1591-1593.

Guo, J., Li, W., Liu, X., Kong, Q., Zhao, C. and Guo, B., 2015, Temporal-Spatial Variation of Global GPS-Derived Total Electron Content,

بیشینه انقلاب زمستانی کمتر است.

بیشترین میزان TEC در ماه مارس، آوریل و اکتبر (بهار و پاییز نیم کره شمالی) و کمترین مقدار در ماه ژوئن، جولای و آگوست (تابستان نیم کره شمالی) می باشد.

۵. بحث و نتیجه گیری

در این تحقیق که با هدف اقلیم شناختی پریشیدگی های یونسپهری با استفاده از داده های شبکه ای GPS برای بازه زمانی ۱۹۹۹ تا ۲۰۱۷ صورت گرفت، مشاهده شد که تغییرات TEC با تغییرات چرخه خورشیدی متشابه است و مقدار TEC از سال ۱۹۹۹ تا ۲۰۰۲ روند صعودی و از سال ۲۰۰۳ تا ۲۰۰۹ روند نزولی را دنبال می کند (مشابه فعالیت خورشید). به دنبال آن از سال ۲۰۰۹ مقدار TEC زیاد شده تا سال ۲۰۱۴ که به حد اکثر مقدار رسیده و پس از آن روند نزولی را طی می کند، فاصله بین کمینه و بیشینه مقدار TEC تقریباً ۵ تا ۷ سال می باشد. میزان TEC در چرخه خورشیدی ۲۳ میزان بیشتری نسبت به چرخه خورشیدی ۲۴ دارد.

در بررسی داده های TEC از سال ۱۹۹۹ تا ۲۰۱۷ دیده می شود که در ماه های اکتبر، مارس و آوریل مقدار TEC نسبت به سایر ماه ها بیشتر می باشد.

با توجه به این که خورشید در ماه های ژوئن، جولای و آگوست در نیم کره شمالی تابش بیشتری دارد بیشینه نمودار در این نیم کره می باشد. تقریباً مقدار بیشینه نمودار پاسخ مناسبی به زاویه میل خورشید می دهد. با این که بیشینه مقدار TEC در نیم کره شمالی قرار دارد و کمینه در

1999-2013, PLoS One. 20; 10(7), e0133378. doi: 10.1371/journal.pone.0133378.

Gurtner, W. and Estey, L., 2007, RINEX The receiver independent exchange format version3.00. Astronomical Institute, University of Bern, Boulder, Colorado.

Liao, X., 2000, Carrier phase based ionosphere recovery over a regional area GPS network. M.Sc. Thesis, Univ. of Calgary, Canada.

Liu, L., Wan, W. Ning, B. and Zhang, M.-L., 2009, Climatology of the mean total electron content derived from GPS global ionospheric maps, J. Geophys. Res., 114,

- A06308, doi:10.1029/2009JA014244.
- Mukhtarov, P., Pancheva, D. Andonov, B. and Pashova, L., 2013, Global TEC maps based on GNSS data: 1. Empirical background TEC model, *J. Geophys. Space Physics*, 118, doi:10.1002/jgra.50413.
- Nayir, H., Arikán, F., Arikán, O. and Erol, C. B., 2007, Total Electron Content estimation with Reg-Est. *Geophys.Res.* 112, A11313, doi:10.1029/2007JA012459.
- Otsuka, Y., Ogawa, T., Saito, A., Tsugawa, T., Fukao, S. and Miyazaki, S., 2002, A new technique for mapping of total electron content using GPS network in Japan. *Earth*
- Patel, N. C., Karia, S. P. and Pathak, K. N., 2017, GPS-TEC Variation during Low to High Solar Activity Period (2010-2014) under the Northern Crest of Indian Equatorial Ionization Anomaly Region. *Positioning*, 8, 13-35. <https://doi.org/10.4236/pos.2017.82002>.
- Schaer, S., 1999, Mapping and predicting the Earth's ionosphere using the global positioning system. Ph.D. Thesis, Univ. of Berne, Berne, Switzerland.
- Schaer, S., Werner, G. and Feltens, J., 1998, IONEX: The Ionosphere Map Exchange Format Version 1. Proceedings of the IGS Analysis Centers workshop, Darmstadt, Germany. February 9–11, 233–247.

Climatology of the Total Electron Content (TEC) Derived from GNSS Station Network

Joghataei, M.^{1*}, Jooyande, N.² and Memarian, M. H.¹

1. Assistant Professor, Department of Space Physics, Faculty of Physics, Yazd University, Yazd, Iran

2. M.Sc. Student, Department of Space Physics, Faculty of Physics, Yazd University, Yazd, Iran

(Received: 26 Aug 2019, Accepted: 21 Jan 2020)

Summary

The Earth's ionosphere is one of the important layers of the atmosphere, starting from 60 kilometers extending up to about 1000 kilometers. Even though the layer contains less than 1% of the total mass of the atmosphere; however, it has very important effects on the solar radiation and transmission of radio waves. The ionosphere is formed under effect of solar extreme ultraviolet (EUV), solar X-ray radiation, and electron precipitation of solar winds. The lower atmosphere also contributes to the variability of the ionosphere. In other words, ionosphere is under effects of both lower atmosphere dynamics from below and solar radiation from above boundary. Therefore, the amount of changes of particles in the ionosphere depend largely on many parameters such as time, radiation pattern, Sun-Earth geometry, ion chemistry, and solar activity. Sun's variability is most important origin of the ionosphere long term change, so that the amount of change in the ionosphere layers depends largely on the time and mode of radiation, the Earth-Sun status, and the solar activity. Variety of periodic and nonperiodic variations should be considered in the ionosphere, which makes serious impacts on satellite and ground communication, precise navigation and radio broadcasting. In this research, the relationship between solar activity and total electron content (TEC) is investigate with gridded global TEC data.

Total electron content (TEC) data are important ionosphere parameter that can be derived from time delay of radio wave transmitted from satellite to ground base station. The maps of TEC are given with the resolution of 5° in longitude and with the resolution of 2.5° in latitude, 12 times every day (one map in every two hours at UTC time). In the other word, each IONEX file includes 13 maps in which one map has overlap with next day. Longitude ranges from -180 to 180 degrees that includes 73 points resolution. Latitude ranges from -87.5 to 87.5 degrees that indicates 71 points with the resolution of 2.5°. We use F10.7 index for determination of solar activity. This parameter is indicative of radio emission of sun in 10.7 cm radio wave. This index has a good correlation with sun spot number and nowadays it is used in many research as solar activity parameter.

In this investigation, we used 19-years data IONEX for the period 1999 – 2017 for both 23 and 24 solar cycles. At first, we calculated zonal mean of data (in all longitudes, for every latitude) every day, then for every month and finally for every year. We had the mean data of TEC for every day, month and year of these 19 years. In the 23 solar cycle that began in August 1996 and continued to December 2008, minimum amount of TEC was 14 TECU in 2008, and maximum amount was about 57 TECU in 2000 and 2002. In this solar cycle, the time gap between minimum and maximum was 6 to 8 years. In the current solar cycle, solar cycle 24, with minimum amount of TEC was 14 TECU in 2009 and with maximum 44 TECU in 2014. The time gap between both extremes was about 5 years. In all years, maximum amount of TEC was in low and middle latitude, and minimum was in high latitude. Results indicated that maximum TEC was in southern hemisphere in December, January and February. In June, July and August, maximum TEC is located in northern hemisphere. Maximum amount of TEC was in March, April and October, and minimum was in June, July and August. It seems that maximum position and value depend on solar declination, Earth-Sun position and geometry.

Keywords: Ionosphere, TEC, GNSS, Solar Cycle, F10.7.

* Corresponding author:

mjoghataei@yazd.ac.ir